

# ЭФФЕКТИВНЫЙ ПОКАЗАТЕЛЬ ПРЕЛОМЛЕНИЯ ДВУМЕРНЫХ ПОРИСТЫХ КОМПОЗИТОВ

С. А. Родионов<sup>a,\*</sup>, А. М. Мерзликин<sup>a,b</sup>

<sup>a</sup> *Всероссийский научно-исследовательский институт автоматики им. Н. Л. Духова  
127030, Москва, Россия*

<sup>b</sup> *Институт теоретической и прикладной электродинамики Российской академии наук  
125412, Москва, Россия*

Поступила в редакцию 20 июля 2021 г.,  
после переработки 17 декабря 2021 г.  
Принята к публикации 20 декабря 2021 г.

Исследуется распространение света в двумерных пористых композитных материалах на основе кремния (Si) и диоксида кремния (SiO<sub>2</sub>) в терминах эффективных параметров. Эффективный показатель преломления  $n_{eff}$  и квазистатическая эффективная диэлектрическая проницаемость  $\sqrt{\varepsilon_{eff}}$  были вычислены независимо. Эффективный показатель преломления был вычислен с использованием теоремы Блоха, в то время как квазистатическая эффективная диэлектрическая проницаемость была рассчитана разными методами: при помощи метода асимптотического осреднения, приближения Максвелла Гарнетта и модели Бруггемана. Показано, что в длинноволновом приближении  $n_{eff}$  не сходится к квадратному корню из квазистатической диэлектрической проницаемости, вычисленной при помощи моделей Максвелла Гарнетта и Бруггемана. Показано, что, напротив, сходимость между  $n_{eff}$  и  $\sqrt{\varepsilon_{eff}}$ , вычисленной методом асимптотического осреднения, осуществляется в длинноволновом пределе для любых значений пористости композитного материала.

DOI: 10.31857/S004445102205008X  
EDN: DSUGDW

## 1. ВВЕДЕНИЕ

В настоящее время исследование оптических композитных материалов [1], свойства которых обусловлены не только их составом, но и внутренней геометрией, представляет высокий интерес [2]. Особенности взаимодействия света с микроструктурой композитных материалов проявляется в различных макроскопических оптических свойствах данных структур, включая такие необычные свойства, как формирование фотонной запрещенной зоны [3, 4], аномальное преломление света [5, 6] и т. д. Понимание физики взаимодействия света с данными структурами и определение их макроскопических свойств — важные проблемы современной оптики [7–9].

Для изучения макроскопических оптических свойств композитных материалов достаточно широко используется метод гомогенизации уравнений

Максвелла [1, 6, 10–17]. Смысл данного метода заключается в замене точных электромагнитных полей в неоднородной среде «средними»<sup>1)</sup> полями, взаимодействующими с некоторой гомогенной средой. Данный подход позволяет избежать затратных по времени вычислений микрополей в структуре композитного материала и описывать его свойства в терминах эффективных параметров [10–15]. Полная характеристика оптических свойств материала требует определения двух параметров<sup>2)</sup>:  $\varepsilon_{eff}$ ,  $\mu_{eff}$  — эффективных диэлектрической и магнитной проницаемостей соответственно [18], что следует из уравнений Максвелла для однородной среды.

В наиболее простом случае статических полей амплитуды электрического и магнитного полей независимы, что позволяет преобразовать систему уравнений Максвелла к уравнению Лапласа. Гомо-

<sup>1)</sup> Различные авторы рассматривают поля, усредненные по физически бесконечно малому элементу объема [18], ансамблю [19], и более сложные методы усреднения [1, 12, 13].

<sup>2)</sup> В случае анизотропных сред данные параметры являются тензорными величинами. Биизотропные и бианизотропные среды не рассматриваются в данной работе.

\* E-mail: sergeyrodionov93@yandex.ru

гомогенизация уравнения Лапласа является достаточно хорошо изученной проблемой [1, 8–11, 14, 15]. Существует много феноменологических методов гомогенизации, среди которых приближение Максвелла Гарнетта [10, 11] и модель эффективной среды Бругемана [14] наиболее популярны. Также существуют математически строгие методы гомогенизации, среди которых метод асимптотического осреднения уравнения Лапласа для периодических сред широко используется в задачах механики, электростатики и магнитостатики [20, 21]. Данный метод основан на методе многих масштабов [9, 20] и разложении поля в ряд по малому параметру  $a/L$ , где  $a$  — характерный масштаб неоднородности внутренней структуры образца,  $L$  — характерный масштаб размеров образца.

При изучении взаимодействия переменных электромагнитных полей с композитным материалом электрическое и магнитное поля связаны посредством уравнений Максвелла, а также данные уравнения содержат дополнительный параметр масштаба — длину волны  $\lambda$ . Связь между электрическим и магнитным полями приводит к уравнениям, отличным от уравнения Лапласа, а наличие третьего параметра масштаба (длины волны) требует принятия во внимание отношений  $a/\lambda$  и  $\lambda/L$ , помимо  $a/L$ . Важно отметить, что в случае  $a/\lambda > 1/2n$ , где  $n$  — показатель преломления матрицы композитного материала, метод гомогенизации не может быть применен, так как при приближении к первому брэгговскому резонансу среда начинает сильно рассеивать излучение и не может рассматриваться как однородная [15]. Таким образом, метод гомогенизации может применяться, когда  $a/\lambda \ll 1/2n$ .

В случае, когда длина волны существенно превышает все остальные характерные масштабы:  $\lambda \gg \gg a, L$ , уравнения Максвелла могут быть сведены к уравнению Лапласа. Однако, в отличие от статического случая, связь между электрическим и магнитным полями должна быть сохранена. Также должна быть учтена дисперсия параметров среды. Данное приближение называется квазистатическим [8, 18]. Гомогенизация неоднородной среды с использованием квазистатического приближения достаточно популярный метод и, как и в статическом случае, достаточно хорошо изученная проблема [14, 22].

Волновые свойства излучения учитываются в более точном, длинноволновом приближении. В данном приближении при решении уравнений Максвелла поля раскладываются в ряд по степеням  $a/\lambda$  и  $\lambda/L$ , что позволяет учитывать набег фазы волны в среде и другие явления, связанные с волновой при-

родой электромагнитного излучения. Однако при использовании данного приближения уравнения, которые описывают электромагнитные поля, отличны от уравнения Лапласа. Таким образом, стандартные методы гомогенизации оказываются неприменимы.

Достаточно известным методом гомогенизации в длинноволновом приближении является метод, впервые предложенный Рытовым и Левиным в работах [23, 24] и основанный на теореме Блоха [15]. Суть метода заключается в разложении электромагнитного поля в периодической структуре в ряд по блоховским волнам. При помощи данного метода можно вычислить эффективный показатель преломления  $n_{eff}$  и эффективный импеданс  $Y_{eff}$ , при помощи которых могут быть вычислены эффективная диэлектрическая проницаемость  $\epsilon_{eff}$  и эффективная магнитная проницаемость  $\mu_{eff}$ . Однако в работах [25–28] было показано, что для периодических слоистых композитов введение эффективного импеданса в длинноволновом приближении некорректно. Оказывается, что эффективный импеданс сильно зависит от граничных условий на поверхности образца и процедура сходимости для данного параметра, при увеличении размеров образца, не выполняется [25, 26]. Также в ряде работ [10–15, 29, 30] обсуждаются основные современные методы гомогенизации и способы корректного введения полного набора эффективных материальных параметров в длинноволновом приближении, которые в основном сводятся к введению эффективных переходных слоев на поверхности образца. Тем не менее такие слои все еще довольно сильно зависят от типа границы, что не позволяет описывать композитный материал в терминах эффективных параметров корректно [31].

Таким образом, применимость метода гомогенизации к уравнениям Максвелла для композитных материалов в длинноволновом приближении все еще остается до конца не решенной проблемой и требует дальнейшего исследования. Однако, так как введение  $n_{eff}$  остается в силе [29, 32, 33] в динамической задаче, данный параметр можно использовать для описания макроскопических свойств композитного материала. Также в связи с тем, что квазистатическое приближение [10, 11] применимо к композитным материалам в случае  $\lambda \gg a$ , достаточно важной задачей является определение разницы между  $n_{eff}$ , рассчитанным при помощи теоремы Блоха в длинноволновом приближении, и  $\sqrt{\epsilon_{eff}}$ , рассчитанным с использованием метода асимптотического осреднения в квазистатическом приближении:

$$\Delta n_{eff} = n_{eff} - \sqrt{\epsilon_{eff}}. \quad (1)$$

В последнее время нанопористый кремний и диоксид кремния представляют большой интерес в оптике [34, 35]. За счет технологической возможности управления пористостью материала  $p^3$ ) оказывается возможным изменять оптические свойства данного материала в достаточно широких пределах, что находит применение во многих оптических устройствах [35–38]. Так как данные структуры принадлежат к классу двумерных композитных материалов [39–42] за счет сонаправленного роста пор, есть определенный теоретический интерес к изучению связи между эффективными параметрами и микроструктурой данного композитного материала. Следовательно, изучение таких структур является важной задачей как для прикладной оптики, так и для теоретической. В данной работе исследуются эффективные оптические параметры двумерных пористых композитных материалов и связь между методом асимптотического осреднения и теоремой Блоха в длинноволновом пределе в задаче гомогенизации. Также в данной работе мы показали, что такие популярные методы гомогенизации, как приближение Максвелла Гарнетта и модель Бруггемана, дают результаты, отличные от математически строгого метода асимптотического осреднения при больших пористостях, и оказываются непригодными.

Работа имеет следующую структуру. В разд. 2 описана постановка задачи, т. е. представлена модель пористого материала и методы для расчета его эффективных параметров. Метод асимптотического осреднения используется для расчета квазистатической эффективной диэлектрической проницаемости, а эффективный показатель преломления в длинноволновом приближении вычисляется при помощи теоремы Блоха. В разд. 3 представлены результаты вычислений. Обсуждение полученных результатов проводится в разд. 4.

## 2. МЕТОДЫ

### 2.1. Модель пористого композита

Модель двумерного пористого композитного материала представляет собой однородную сплошную среду из кремния или диоксида кремния (матрица) и включений в виде сонаправленных бесконечных цилиндров, заполненных воздухом (рис. 1а). Характерный размер неоднородности композитного мате-

<sup>3)</sup> Отношение объема, занимаемого порами, к объему всего композита.

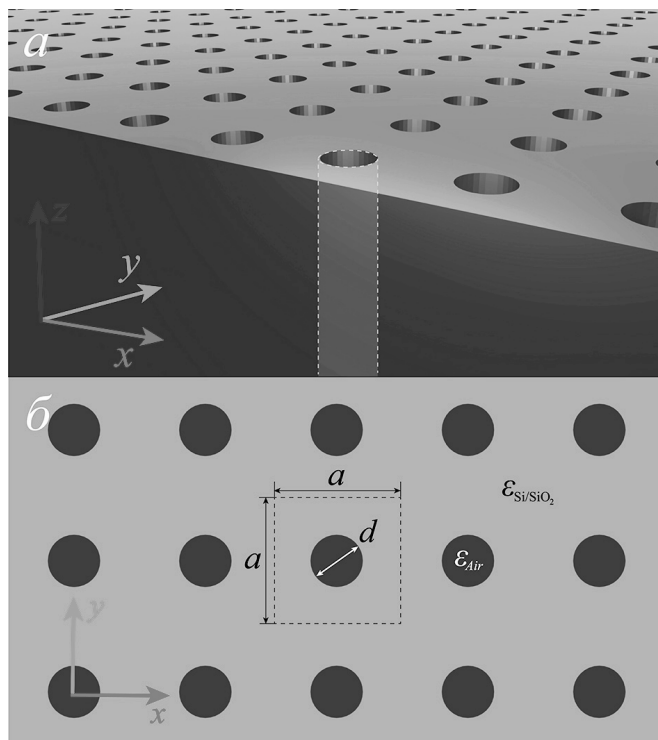


Рис. 1. Модель пористого композита

риала, т. е. среднее расстояние между осями соседних цилиндров  $a$ , предполагается много меньшим, чем характерный размер всей структуры  $L$  ( $a \ll L$ ). Также предполагается, что длина волны  $\lambda$  много меньше  $L$  ( $\lambda \ll L$ ), что позволяет рассматривать структуру как двумерную и бесконечную. Для применения метода асимптотического осреднения и теоремы Блоха, которые описаны ниже, за счет равномерного распределения пор в композитном материале структура предполагается периодической, с квадратной ячейкой периода  $a$ , и все цилиндры предполагаются идентичными, с диаметром  $d$  (рис. 1б).

Как видно из рис. 1а, структура неоднородна в плоскости  $xy$  и однородна вдоль оси  $z$ . Тогда эффективная диэлектрическая проницаемость не является скаляром и зависит от направления. За счет трансляционной симметрии вдоль оси  $z$  и квадратной элементарной ячейки в выбранной системе координат, представленной на рис. 1, тензор эффективной диэлектрической проницаемости может быть представлен в диагональной форме:

$$\epsilon_{ij}^{eff} = \begin{pmatrix} \epsilon_{eff}^{(\perp)} & 0 & 0 \\ 0 & \epsilon_{eff}^{(\perp)} & 0 \\ 0 & 0 & \epsilon_{eff}^{(\parallel)} \end{pmatrix}. \quad (2)$$

Таким образом, проблема исследования оптических свойств пористого кремния или пористого диоксида кремния в квазистатическом приближении сводится к вычислению величин  $\varepsilon_{eff}^{(\perp)}$  и  $\varepsilon_{eff}^{(\parallel)}$ . Отметим, что так как  $z$ -компонента вектора напряженности электрического поля непрерывна на границе между материалами, то в направлении, параллельном осям пор, электрическое поле одинаково во всем пространстве. Следовательно,  $\varepsilon_{eff}^{(\parallel)} = \langle \varepsilon \rangle$ , где  $\langle \varepsilon \rangle$  — диэлектрическая проницаемость, усредненная по элементарной ячейке композитного материала.

Рассматривается структура со следующими параметрами:  $a = 50$  нм — период элементарной ячейки,  $d = 15$  нм — диаметр пор,  $\lambda = 850$  нм — длина волны излучения в вакууме,  $\varepsilon_{SiO_2} = 2.13$  — диэлектрическая проницаемость диоксида кремния при заданной длине волны [43],  $\varepsilon_{Si} = 13.22$  — диэлектрическая проницаемость кремния при заданной длине волны [44],  $\varepsilon_{Air} = 1$  — диэлектрическая проницаемость воздуха.

## 2.2. Метод асимптотического осреднения

В данной работе метод асимптотического осреднения используется для вычисления компонент тензора эффективной диэлектрической проницаемости в квазистатическом приближении. Детальное описание данного метода можно найти в [20, 21]. В данном разделе представлена суть этого метода. При использовании квазистатического приближения система уравнений Максвелла преобразуется к уравнению Лапласа<sup>4)</sup> с сохранением дисперсии параметров среды:

$$\sum_{i,j} \frac{\partial}{\partial x_i} \varepsilon_{ij}(\mathbf{r}) \frac{\partial \phi(\mathbf{r})}{\partial x_j} = 0, \quad (3)$$

где  $\varepsilon_{ij}(\mathbf{r})$  — тензор диэлектрической проницаемости, компоненты которого являются функциями координат,  $\phi(\mathbf{r})$  — скалярный потенциал,  $\mathbf{r}$  — радиус-вектор,  $x_i$  —  $i$ -я компонента радиус-вектора. Поиск асимптотического решения уравнения (3) в виде разложения в ряд по параметру  $k = a/L$  составляет суть метода асимптотического осреднения:

$$\phi(\mathbf{r}) = \sum_n k^n \phi_n(\mathbf{r}), \quad (4)$$

<sup>4)</sup> Для упрощения нашего рассмотрения временная зависимость  $\exp(i\omega t)$  опущена, так как уравнения Максвелла рассматриваются в частотной области. Далее в работе временная зависимость также будет опущена.

где  $\phi_n(\mathbf{r})$  — средний потенциал в случае нулевого индекса и его поправки во всех остальных случаях. Также в данном методе используется разделение на «быстрые» и «медленные» переменные, соответственно:

$$\xi_i = x_i/a, \quad \eta_i = x_i/L, \quad (5)$$

что позволяет существенно упростить решение задачи. Сходимость уравнения Лапласа с неоднородными коэффициентами (3) к осредненному уравнению:

$$\sum_{i,j} \varepsilon_{ij}^{eff} \frac{\partial^2}{\partial x_i \partial x_j} \phi_0(\mathbf{r}) = 0, \quad (6)$$

при  $k \rightarrow 0$  выполняется в рамках теории G-сходимости [45].

Для вычисления  $\varepsilon_{ij}^{eff}$  решается дополнительная краевая задача на ячейке периодичности:

$$\sum_{i,j} \frac{\partial}{\partial \xi_i} \varepsilon_{ij}(\xi) \frac{\partial M_l(\xi)}{\partial \xi_j} = 0, \quad (7)$$

$$[M_l(\xi) - \xi_l]_{\Gamma} = 0, \quad \left[ \frac{\partial M_l(\xi)}{\partial \mathbf{n}_\xi} \right]_{\Gamma} = 0, \quad (8)$$

где  $\xi$  — набор «быстрых» переменных,  $M_l(\xi)$  —  $l$ -я дополнительная функция «быстрых» переменных,  $\Gamma$  — граница элементарной ячейки,  $\mathbf{n}_\xi$  — нормаль к  $\Gamma$ . Отсюда следует, что тензор эффективной диэлектрической проницаемости может быть вычислен с помощью выражения

$$\varepsilon_{ij}^{eff} = \int_{V_\xi} \sum_n \varepsilon_{in}(\xi) \frac{\partial M_j(\xi)}{\partial \xi_n} d\xi, \quad (9)$$

где  $V_\xi$  — объем элементарной ячейки в быстрых переменных и  $d\xi$  — элемент объема элементарной ячейки в быстрых переменных.

## 2.3. Теорема Блоха

Поскольку среда периодическая, для описания распространения в ней электромагнитных волн, за счет схожести уравнений квантовой механики и электродинамики, может быть использована теорема Блоха [3, 4, 15]. При данном подходе компоненты электромагнитного поля могут быть разложены по блоховским волнам:

$$\mathbf{E}(\mathbf{r}) = \sum_{\mathbf{k}_b} \mathbf{E}_{\mathbf{k}_b}(\mathbf{r}) \exp(i\mathbf{k}_b \cdot \mathbf{r}), \quad (10)$$

где  $\mathbf{E}(\mathbf{r})$  — вектор напряженности электрического поля,  $\mathbf{E}_{\mathbf{k}_b}(\mathbf{r})$  — периодические функции распределения поля в среде,  $\mathbf{k}_b$  — блоховский волновой вектор. При использовании данного метода задача сводится к определению закона дисперсии:  $\mathbf{k}_b = \mathbf{k}_b(\omega)$ , где  $\omega$  — частота излучения, и к последующему вычислению  $\mathbf{E}_{\mathbf{k}_b}(\mathbf{r})$ . Тогда вдали от первого брэгговского резонанса ( $a/\lambda \ll 1/2n$ ) можно ввести эффективный показатель преломления:

$$n_{eff} = k_b/k_0, \tag{11}$$

где  $k_0$  — волновое число излучения в вакууме. В данной работе мы рассматриваем только режим распространения волн с высокой симметрией ( $k_{bz} = 0$ ), где блоховский волновой вектор лежит в плоскости  $xy$ .

### 3. РЕЗУЛЬТАТЫ

С помощью метода асимптотического осреднения компоненты тензора эффективной диэлектрической проницаемости были вычислены при разных величинах пористости  $p$  для моделей пористого диоксида кремния (рис. 2) и пористого кремния (рис. 3), при фиксированных  $\lambda$  и  $a$ .

Также мы вычислили зависимости эффективной диэлектрической проницаемости от пористости для пористого кремния при помощи приближения Максвелла Гарнетта и модели Бруггемана. Отличие результатов метода асимптотического осреднения от данных приближений представлено на рис. 4.

В динамическом случае мы рассмотрели электромагнитные волны, распространяющиеся в плоско-

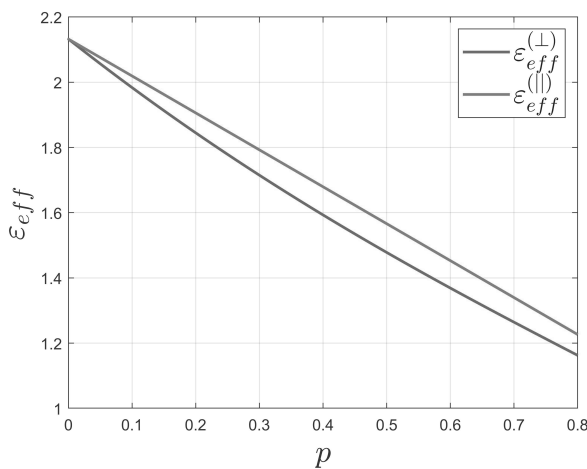


Рис. 2. (В цвете онлайн) Компоненты тензора эффективной диэлектрической проницаемости в зависимости от пористости для пористого диоксида кремния

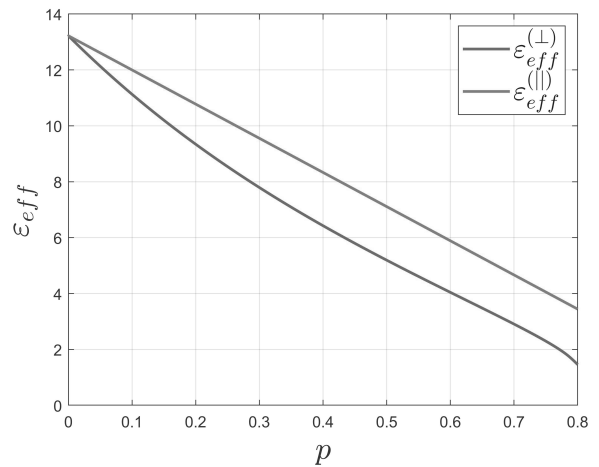


Рис. 3. (В цвете онлайн) Компоненты тензора эффективной диэлектрической проницаемости в зависимости от пористости для пористого кремния

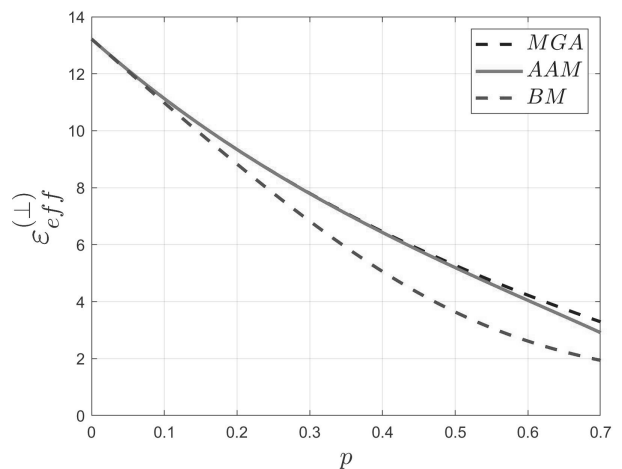


Рис. 4. (В цвете онлайн) Сравнение зависимостей эффективной диэлектрической проницаемости от пористости композитного материала, вычисленных с использованием приближения Максвелла Гарнетта (MGA), метода асимптотического осреднения (AAM) и модели Бруггемана (BM) для пористого кремния

сти  $xy$ , т. е. когда  $k_z = 0$ . Эффективные показатели преломления данной структуры для обоих направлений вектора напряженности электрического поля (в плоскости или перпендикулярно ей) были вычислены в зависимости от  $a/\lambda$  для моделей пористого диоксида кремния (рис. 5a) и пористого кремния (рис. 6a). Вычисления были выполнены с использованием теоремы Блоха при фиксированных  $\lambda$  и  $p$ . Также, используя (1), было проведено сравнение величины эффективного показателя преломления с

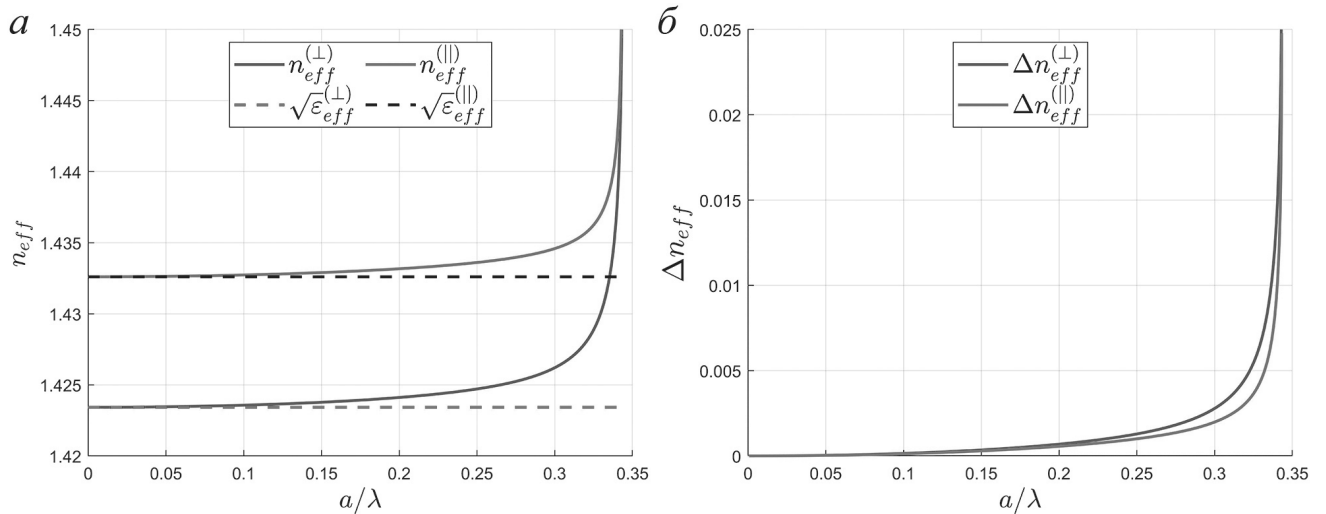


Рис. 5. (В цвете онлайн) а) Эффективные показатели преломления при разных  $a/\lambda$  для пористого диоксида кремния. Штриховые линии отмечают  $\sqrt{\epsilon_{eff}}$ . б) Разности между динамическими и квазистатическими показателями преломления как функции  $a/\lambda$  для пористого диоксида кремния

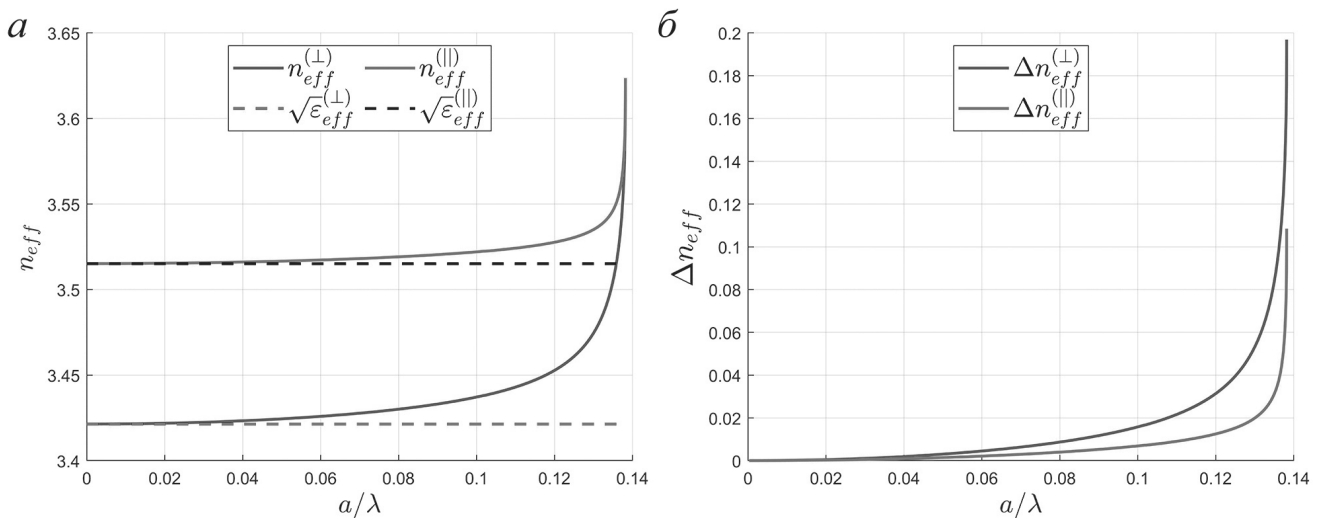


Рис. 6. (В цвете онлайн) а) Эффективные показатели преломления при разных  $a/\lambda$  для пористого кремния. Штриховые линии отмечают  $\sqrt{\epsilon_{eff}}$ . б) Разности между динамическими и квазистатическими показателями преломления как функции  $a/\lambda$  для пористого кремния

$\sqrt{\epsilon_{eff}}$ , вычисленной при помощи метода асимптотического осреднения в квазистатическом приближении (рис. 5б и рис. 6б).

Динамические вычисления были выполнены при фиксированной пористости, которая была выбрана достаточно маленькой ( $p \approx 0.07$ ). Чтобы показать, что данный результат справедлив при всех пористостях, мы вычислили зависимости  $\Delta n_{eff}^{(\perp)}$  от  $a/\lambda$  для разных пористостей. Вычисления были выполнены для модели пористого кремния, результаты представлены на рис. 7.

#### 4. ОБСУЖДЕНИЕ РЕЗУЛЬТАТОВ

Из рис. 2 и 3 ясно, что компоненты тензора эффективной диэлектрической проницаемости могут меняться в очень широких пределах при изменении пористости образца. Также данная структура обладает большой анизотропией даже в случае малой разности между диэлектрическими проницаемостями компонентов композитного материала<sup>5)</sup>.

<sup>5)</sup> В случае кремния разность между компонентами тензора диэлектрической проницаемости порядка 1.

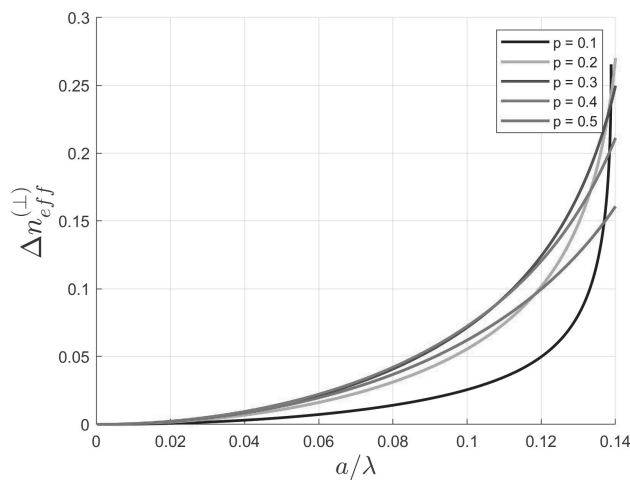


Рис. 7. (В цвете онлайн) Разности между динамическими и квазистатическими эффективными показателями преломления  $\Delta n_{eff}^{(\perp)}$  в зависимости от  $a/\lambda$  для разных пористостей для пористого кремния

На рис. 4 показано, что при малой пористости ( $p \leq 0.05$ ) эффективная диэлектрическая проницаемость, вычисленная с использованием приближения Максвелла Гарнетта и с использованием модели Бруггемана, совпадает с эффективной диэлектрической проницаемостью, вычисленной методом асимптотического осреднения. Но выше величины пористости  $p \approx 0.05$  эффективная диэлектрическая проницаемость из модели Бруггемана значительно отличается от эффективной диэлектрической проницаемости, вычисленной методом асимптотического осреднения, и становится неприменимой. Эффективная диэлектрическая проницаемость, вычисленная с использованием приближения Максвелла Гарнетта, согласуется с эффективной диэлектрической проницаемостью, вычисленной с использованием метода асимптотического осреднения, вплоть до значений пористости  $p \approx 0.4$ . Выше данного значения разница между эффективными диэлектрическими проницаемостями из приближения Максвелла Гарнетта и метода асимптотического осреднения становится значительной и быстро растет. Следовательно, при пористостях выше  $p \approx 0.4$  приближение Максвелла Гарнетта становится неприменимым.

На рис. 5 и 6 построены зависимости  $n_{eff}$  от  $a/\lambda$  вплоть до первого брэгговского резонанса. Как было сказано выше, эффективный показатель преломления композитного материала имеет смысл только вдали от первого брэгговского резонанса. Поэтому в расчетах используется только первая зона Бриллюэна для  $a/\lambda$ . Как видно из рис. 5а и 6а,  $n_{eff}$  стремится

к  $\sqrt{\epsilon_{eff}}$  в пределе больших длин волн ( $a/\lambda \rightarrow 0$ ). Данный результат очень важен, так как показывает связь между квазистатическим показателем преломления  $\sqrt{\epsilon_{eff}}$  и асимптотическим значением динамического показателя преломления  $n_{eff}$ , вычисленных разными методами.

На рис. 5б и 6б видно, что  $n_{eff}$  сильно отличается от  $a/\lambda$  только вблизи первого брэгговского резонанса и их разница быстро уменьшается при удалении от него. Следовательно, оказывается возможным использовать эффективный показатель преломления уже при  $a/\lambda \leq 1/4n$ . Более того, начиная с данного значения  $a/\lambda$ , становится возможным использование квазистатического приближения для вычисления эффективных параметров с достаточно хорошей точностью. В самом деле, для пористого диоксида кремния ошибка оказывается порядка  $10^{-4}$  или меньше, а для кремния — порядка  $10^{-3}$  или меньше.

Из рис. 7 ясно, что сходимость  $n_{eff}$  к  $\sqrt{\epsilon_{eff}}$  в пределе больших длин волн не зависит от пористости. Следовательно, для двумерных пористых структур имеется непрерывный переход от эффективного показателя преломления из теоремы Блоха к квадратному корню из эффективной диэлектрической проницаемости из метода асимптотического осреднения в пределе больших длин волн.

## 5. ЗАКЛЮЧЕНИЕ

В данной работе были исследованы эффективные оптические параметры двумерного пористого кремния и диоксида кремния в разных приближениях. В квазистатическом приближении компоненты тензора эффективной диэлектрической проницаемости были вычислены для разных значений пористости  $p$  при фиксированных  $\lambda$  и  $a$  методом асимптотического осреднения. Было показано, что такие структуры обладают анизотропией ввиду различий свойств среды в направлениях, параллельном и перпендикулярном порам. За счет возможности изменять пористость образца, компоненты тензора диэлектрической проницаемости могут меняться в широких пределах.

Сравнение эффективных диэлектрических проницаемостей, вычисленных при помощи метода асимптотического осреднения, приближения Максвелла Гарнетта и модели Бруггемана, показало, что модель Бруггемана применима только при малых пористостях. Приближение Максвелла Гарнетта может быть использовано для вычисления эффективной диэлектрической проницаемости вплоть

до значения пористости  $p \approx 0.4$ , но после этого значения также становится неприменимым. Из выполненных вычислений было установлено, что приближение Максвелла Гарнетта следует использовать с осторожностью при высоких пористостях, а модель Бруггемана не рекомендуется использовать при любых пористостях для таких структур при количественных вычислениях.

В длинноволновом приближении эффективный показатель преломления был вычислен для разных значений  $a/\lambda$  при фиксированных  $\lambda$  и  $p$  с использованием теоремы Блоха. Впервые было показано, что эффективный показатель преломления  $n_{eff}$  стремится к квазистатической диэлектрической проницаемости  $\sqrt{\varepsilon_{eff}}$ , вычисленной с использованием метода асимптотического осреднения при любой пористости в пределе  $a/\lambda \rightarrow 0$ . Данный результат показывает связь между двумя разными вычислительными методами.

## ЛИТЕРАТУРА

1. G. W. Milton, *The Theory of Composites*, Cambridge Univ. Press, Cambridge (2002).
2. M. Kadic, G. W. Milton, M. van Hecke, and M. Wegener, *Nature Rev. Phys.* **1**, 198 (2019).
3. A. Yariv and P. Yeh, *Optical Waves in Crystals*, Wiley, New York (1984).
4. K. Sakoda, *Optical Properties of Photonic Crystals*, Springer (2004).
5. В. Г. Веселого, УФН **92**, 517 (1967).
6. D. R. Smith and N. Kroll, *Phys. Rev. Lett.* **85**, 2933 (2000).
7. L. Novotny and B. Hecht, *Principles of Nano-Optics*, Cambridge Univ. Press, Cambridge (2012).
8. A. K. Sarychev and V. M. Shalaev, *Electrodynamics of Metamaterials*, World Sci. (2007).
9. A. P. Vinogradov, *Electrodynamics of Composite Materials*, URSS (2001).
10. V. A. Markel, *J. Opt. Soc. Amer. A* **33**, 1244 (2016).
11. V. A. Markel, *J. Opt. Soc. Amer. A* **33**, 2237 (2016).
12. A. Chipouline, C. Simovski, and S. Tretyakov, *Metamaterials* **6**, 77 (2012).
13. A. P. Vinogradov and A. M. Merzlikin, *Metamaterials* **6**, 121 (2012).
14. R. Landauer, *AIP Conf. Proc.* **40**, 2 (1978).
15. C. R. Simovski, *Opt. Spectrosc.* **107**, 726 (2009).
16. S. G. Moiseev, *Physica B: Condens. Matter* **405**, 3042 (2010).
17. K. Cherednichenko and S. Cooper, *Mathematika* **61**, 475 (2015).
18. L. D. Landau, J. S. Bell, M. J. Kearsley, L. P. Pitaevskii, E. M. Lifshitz, and J. B. Sykes, *Electrodynamics of Continuous Media*, Elsevier (2013).
19. Y. A. Ryzhov, V. V. Tamoikin, and V. I. Tatarskii, *Sov. Phys. JETP* **21**, 433 (1965).
20. N. S. Bakhvalov and G. Panasenko, *Homogenisation: Averaging Processes in Periodic Media: Mathematical Problems in the Mechanics of Composite Materials*, Springer (2012).
21. E. Sánchez-Palencia, *Non-Homogeneous Media and Vibration Theory*, Springer (1980).
22. D. J. Bergman, *Phys. Rep.* **43**, 377 (1978).
23. S. Rytov, *Sov. Phys. JETP* **2**, 466 (1956).
24. M. L. Levin, *Zh. Tekh. Fiz.* **18**, 1399 (1948).
25. А. П. Виноградов, А. В. Мерзликин, ЖЭТФ **121**, 565 (2002) [A. P. Vinogradov and A. V. Merzlikin, *JETP* **94**, 482 (2002)].
26. A. P. Vinogradov and A. M. Merzlikin, *Advances in Electromagnetics of Complex Media and Metamaterials*, Springer (2002), pp. 341–361.
27. A. P. Vinogradov and A. M. Merzlikin, *SPIE Proc.* **4806**, 307 (2002).
28. N. A. Enkin, A. M. Merzlikin, and A. P. Vinogradov, *J. Commun. Technol. Electron.* **55**, 565 (2010).
29. A. M. Merzlikin and R. S. Puzko, *Sci. Rep.* **10**, 1 (2020).
30. C. R. Simovski, *J. Commun. Technol. Electron.* **52**, 953 (2007).
31. A. P. Vinogradov, A. I. Ignatov, A. M. Merzlikin, S. A. Tretyakov, and C. R. Simovski, *Opt. Express* **19**, 6699 (2011).
32. R. S. Puzko and A. M. Merzlikin, *Opt. Commun.* **383**, 323 (2017).
33. R. S. Puz'ko and A. M. Merzlikin, *J. Commun. Technol. Electron.* **61**, 1368 (2016).
34. H. Sohn, *Refractive Index of Porous Silicon*, ed. by L. Canham, *Handbook of Porous Silicon*, Springer (2014).



35. V. B. Novikov, A. I. Maydykovskiy, B. I. Mantsyzov, and T. V. Murzina, *Phys. Rev. B* **93**, 235420 (2016).
36. S. E. Svyakhovskiy et al., *J. Russ. Laser Res.* **36**, 588 (2015).
37. V. B. Novikov and T. V. Murzina, *Opt. Lett.* **42**, 1389 (2017).
38. J. J. Saarinen et al., *Opt. Express* **13**, 3754 (2005).
39. G. Bouchitté, S. Guenneau, and F. Zolla, *Multiscale Modeling and Simulation* **8**, 1862 (2010).
40. D. Felbacq and G. Bouchitté, *Waves in Random Media* **7**, 245 (1997).
41. G. Bouchitté and D. Felbacq, *SIAM J. Appl. Math.* **66**, 2061 (2006).
42. R. C. McPhedran et al., *Proc. Roy. Soc. London, Ser. A: Math. Phys. Eng. Sci.* **452**, 2231 (1996).
43. L. V. Rodríguez-de Marcos, J. I. Larruquert, J. A. Méndez, and J. A. Aznárez, *Opt. Mater. Express* **6**, 3622 (2016).
44. C. Schinke et al., *AIP Advances* **5**, 67168 (2015).
45. V. V. Zhikov, S. M. Kozlov, O. A. Oleinik, and K. T. Ngoan, *Russ. Math. Surveys* **34** (1979).